

## ارزیابی استیل ترانسفراز مخمر (AYT1) در سم زدایی توکسین فوزاریومی

### دی اکسی نیوالنول در گیاهان تراریخت

فروغ سنجریان<sup>۱\*</sup>، امیر موسوی<sup>۱</sup>، عزیزاله علیزاده<sup>۳</sup>، هانا ویندورفر<sup>۴</sup> و گرهارد آدام<sup>۴</sup>

<sup>۱</sup> پژوهشگاه ملی مهندسی ژنتیک و زیست فناوری، تهران

<sup>۲</sup> گروه زیست شناسی، دانشکده علوم دانشگاه رازی، کرمانشاه

<sup>۳</sup> دانشکده کشاورزی، دانشگاه تربیت مدرس، تهران

<sup>۴</sup> مرکز ژنتیک کاربردی، دانشگاه علوم کشاورزی وین، اتریش

#### چکیده

*Fusarium graminearum* عامل بیماری بلایت فوزاریومی گندم، فیتوتوکسین DON را تولید می کند که از دسته تریکوتسینهاست و علاوه بر تشدید بیماریزایی قارچ عامل، مخاطراتی را برای سلامتی انسان و حیوانات در بر دارد. برای مطالعه راههای احتمالی کاهش تأثیرات DON، ژن استیل ترانسفراز با استفاده از آغازگرهای اختصاصی از DNA مخمر توسط PCR جداسازی، تکثیر و سپس به آگروباکتریوم منتقل گردید. گیاه مدل توتون توسط آگروباکتریوم با این ژن تراریخت شد AYT1 آنزیمی را کد می کند که یک گروه استیل را به گروه هیدروکسیل C3 تریکوتسینها اضافه می کند. بررسیهای ملکولی و آزمونهای در شرایط کشت درون شیشه، حاکی از کاهش سمیت DON و تحمل نسبی به آن در گیاهان تراریخت که نتیجه بیان تراژن مذکور می باشد.

واژه های کلیدی: بلایت فوزاریومی گندم، دی اکسی نیوالنول، استیل ترانسفراز، سم زدایی

#### مقدمه

است. اسکب در شمال ایران بصورت اندمیک وجود دارد (۴) و گزارشاتی از نقاط دیگر مانند فارس، هرمزگان، مغان، آذربایجان و خوزستان مبنی بر مشاهده این بیماری در آن نقاط ارائه شده است (۱، ۲، ۳، ۵).

علاوه بر خسارت مستقیم وارد شده به مزارع از طریق این بیماری دلیل کاهش عملکرد میکوتوکسینهای فراوانی نیز که توسط قارچ بیمارگر تولید می شود که باعث افت شدید کیفیت محصول آلوده می گردد (۷، ۹، ۱۰، ۱۴). از جمله این میکوتوکسینها، تریکوتسینها (Trichothecene) می باشند که مهار کننده های فعال مرکز پپتیدیل ترانسفراز ریپوزومهای یوکاریوتی می باشند (۸) و از تولید پروتئین در مراحل طولیل شدن (Elongation) (۸ و ۲۰) و خاتمه (Termination) (۸) جلوگیری می کنند. یکی از مهمترین

قارچ *Fusarium graminearum* به همراه *F. colmorum* گونه های غالب عامل بلایت فوزاریومی گندم (FHB) در بسیاری از نقاط دنیا هستند (۳۰، ۲۱، ۳۲). این پاتوژنها، بیماری ویرانگری تحت عنوان اسکب (Scab) تولید می کنند که در گندم، جو وسایر غلات دانه ریز دیده می شود (۱۴). دانه های آلوده بصورت بیرنگ و با وزن کمتری هستند و در موارد شدید بیماری، بصورت چروکیده در می آیند (۲۱). قارچ عامل بیماری این قابلیت را دارد که مقدار قابل توجهی از محصول را قبل از برداشت از بین ببرد و باعث خسارت شدید به مزارع شود (۷، ۹، ۱۴).

این بیماری در سالهای اولیه قرن بیستم از انگلستان گزارش گردید (۱۴) و از آن پس در بسیاری از مناطق جهان مانند آمریکا و کانادا (۱۶)، اروپا (۹) و چین (۲۱) گزارش شده

امروزه با استفاده از تکنیکهای مهندسی ژنتیک، ژن مسئول مقاومت می تواند از هر منبعی به گیاه زراعی انتقال داده شود که این امر باعث افزایش تعداد و گوناگونی ژنهای مورد استفاده می شود (۷). از جمله ژنهایی که برای تشدید مقاومت به بیماری اسکب از طریق کاهش تجمع DON مورد استفاده قرار گرفته است، ژن *Tri101* از قارچ *F. sporotrichioides* است که محصول آن نوعی استیل ترانسفراز بوده که تریکوسن را به ترکیباتی با سمیت کمتر تبدیل می کند. این آنزیم به همراه ژنهای دیگر (مانند *pd5* ژن کد کننده ناقل ABC) در مکانیسم افزایش تحمل به تریکوتسینها نقش دارد. از لحاظ توالی، بین ژن *Tri101* و سایر O- استیل ترانسفرازهای فوزاریومی شباهت چندانی وجود ندارد و این ژن از لحاظ اندازه و برخی از موتیفهای مجزا به استیل ترانسفرازهای گیاهی شبیه است (۶). در مخمر *Saccharomyces cerevisiae* ژن ORF- *AYT1* (Y1106Bc) شناسایی شده که محصول آن از لحاظ ساختمانی و عملکردی شبیه به *TRI101* است (شکل ۱) و بنظر می رسد در حفاظت مخمر در برابر تریکوتسینها نقش دارد (۶).

در پژوهش حاضر، تأثیر استیله شدن میکوتوکسین DON در افزایش تحمل گیاه به آن از طریق انتقال ژن استیل ترانسفراز مخمری *AYT1* به گیاه مدل توتون و سپس نحوه تحمل به DON در گیاهان تراریخت در شرایط آزمایشگاه مورد بررسی قرار گرفته است.

### مواد و روشها

**همسانه سازی ژن *AYT1*:** با استفاده از توالی ژن *AYT1* مخمر موجود در بانک ژن (با شماره دسترسی Z73168 Y13138)، جفت آغازگر زیر جهت همسانه سازی و بررسیهای مولکولی آن طراحی گردید:

تریکوتسینها، Deoxynivalenol (DON) است. پیشنهاد شده است که DON با جلوگیری از بیان پروتئینهای مرتبط با مقاومت در گیاه، در شدت بیماریزایی پاتوژن نقش دارد (۱۷). اهمیت ویژه DON، اثرات بیماریزای آن در انسان و حیوانات است. این میکوتوکسین در حیوانات باعث بروز علائمی از قبیل اسهال، امتناع از خوردن غذا، آماس پوستی و در انسان نیز باعث بی اشتها، تشنج، تهوع و استفراغ، اختلالات عصبی و سیستم ایمنی می شود (۹، ۱۴، ۲۶). بطوریکه در کشورهای پیشرفته حداکثر مقدار قابل قبول آلودگی به DON در مورد گندم (برای مصرف انسان) ۲-۵ ppm است و در جو این مقدار حتی به کمتر از ۵ ppm می رسد (۷). بدین ترتیب مبارزه با بیماری یا تلاش در جهت کم کردن مقدار توکسین موجود در دانه ارزش ویژه ای جهت تولید غذای سالم در جوامع پیشرفته دارد.

مبارزه شیمیایی با این بیماری غالباً مؤثر واقع نشده و استفاده از قارچ کشها اگرچه ممکن است در کوتاه مدت در کنترل اپیدمیک اسکب مؤثر باشد، اما باعث آلودگی زیاد محیط زیست شده و در عین حال نمیتواند مقدار توکسینهای تولیدی قارچ را به مقدار قابل تحمل برای انسان پایین بیاورد. لذا، لزوم بررسی ژرم پلاسمهای مقاوم و توسعه ارقام متحمل به این بیماری از اهمیت خاصی برخوردار است. از راهکارها موجود جهت توسعه ارقام مقاوم، استفاده از تکنیک دورگه گیری و گزینش بعد از آن است که آن هم با توجه به منابع محدود مقاومت به اسکب در گندم معمولی و چند ژنی بودن آن چندان کارآمد نیست (۱۲). بدین ترتیب لزوم بررسی دقیق تر مکانیسمهای مقاومت به بیماری در سطح مولکولی جهت استفاده بهینه در ارقام حساس و در عین حال بهره گیری از ژنهای مفید متعلق به سایر ارگانیسمها بیش از پیش مورد نیاز می باشد.

```

*           *           *           *           *           *
AYT1_prot : MFRGKIKIQKRTKSVQMLENDQLDILGQQPSLYKLESTQICSIYFVDFDPSAHDHIVNTLTRGLEITLAKDPQALAGVWREGADEGMTGTYR : 90
TR1101_F.g : M-----A-----FKIQ-LDTLQQLPGLLSISTQISLLYFVDPSQYPTIVSTFEQGLKRFSEMVPQAGQWKAEGISEGMTGTYR : 74
TR1101_F.s : M-----AATSTTSQSFIDIE-LDIIIGQQPFLLSISTQISLLYFVDPSQYPTIVSTFEQGLKRLSQTFFQAGQWKAEGISEGMTGTYR : 82
M           a           s           q           f           i           LDi6GQqP LIs6TQIIs16YpVsDF3gyptIVsTle GLkals ip96AGqWk EGIsEGMTGtS

100        *           120        *           140        *           160        *           180
AYT1_prot : IVPSDKIP-LIQQQLREDLASAPTDSDLEKADFPITMLDENTAPCMTIMPFGMTIGMAAKS GPFVAVQAMFISGGGLVLTIVGQSRHMLIT : 179
TR1101_F.g : IVPFEDVPRVWVWMLRFDPSAPTDSEGMFKA GPFPMAMPDENI IAPRNTL-FIGPFTG-PDDPKPWILLQLNFINGGLILTVNGQHGSDMFW : 162
TR1101_F.s : IIPFEETPRVWVWMLRFDPSAPTDSEGLRKA GPFLEMFDENVAPRNTL-AIGPFGG-FMDPKPWILLQLNFINGGLILTVNGQHGSDMFW : 171
I6P e Pr66WdLlRdD SAPT6e6g6KAgSP6 MfIdEn APkT6 pi6pg 6 p dpkP9 16Q1NF1K6GL6LT6n6QHgaMD6t

*           *           *           *           *           *           *           *
AYT1_prot : GQESIIIMLLKCSCHQKPTSDIEELLIGMLDMSKSIPLFDENDEPTTLVHEIWTETSRNTSGEENEQSCSSMSIOWAVETSASISLQMLBILA : 259
TR1101_F.g : GQDAVIRLLSKACRMDPTTEEMTAMMLDPCITVPELEN-PTI GPEVDHQIWKFDGAGGDAVLT--PVSASGATKTSFKMSSELKDA : 246
TR1101_F.s : GQDAVIRLLSKACRMSPTTEEIISAMMLDPCIVVPLEEN-YKVGPELDHQIANKPA-PAGDAPP--PANATWATSTFTPCALSSELKDA : 256
GQda6IrLLsKAcRm pF2eEE6 smMD64kt 6P1len 5 gpe6dH2Iwkp gda p 290a5f F2pk66seL4da6

200        *           220        *           240        *           260
AYT1_prot : MQTCTS GQKIVSTDDIVTAFIQKSVSRARLSRLKPTKSNLGRVDFVQRLGLFETYPGLLVNMTTMTCSLNSLDHKSGLVLA3QLRFQL : 259
TR1101_F.g : TWYLDASIKIVSTDDALSAFIQK3ASRWLERIDGSAPTFCRAVDARPMGVSMDYFGLLQMTYHNSITIGELANESL GATAS3ELRSEL : 226
TR1101_F.s : TWYLDASIKIVSTDDALSAFIQK3TSEVRLARLDASTPTFCRAVDARPMGVS3TYPGLLQMTYHNSITVAEIANEPLGATAS3ELRSEL : 246
tWtYLDa3IKIVSTDDa6AFIQK3 SRARL R6d stp2eicR6VD R 666s tYPGLLqMTYh s26 e6aneSLGatA3R6RSEL

*           *           *           *           *           *           *
AYT1_prot : DPKWEDLAYMTCALAILLRFCFDKTKVSIPOPIIDTSLGIMVSSGAKVSLSDGDFMLGLGKPKS WRRFRPTISLESLIYMPSSSGEMVVA : 449
TR1101_F.g : DPA--SMRQSTFGLATYLHDMFDKSNVSLTADAMPSTSVMLSSGAKVGLGDFDFGFLGKPKTWRFRPIFEPVESLMTYMPKPKDGEPTAS : 426
TR1101_F.s : MSD--RLRRPTQALATYMHGLFDKSNVSLTADAMPSSS IMLS GAKVGLGDFDFGFLGKPKS WRRFRPEPTESLMTYMPKPKDGEPTAS : 424
lp 6r rT dLAty6h FDK2 VS6tadAlp2s26M633GAKVg15dyDFgFLGKPK2WRFRrFep ESL6YMPkPkDGEf aa

460        *
AYT1_prot : LCLRDNDGECLEADNDGDTREATHIG : 474
TR1101_F.g : LSLRDNDMLRKAADNDGDTREAYYIG : 451
TR1101_F.s : LSLRDNDMERLNAEDNDGDTREANYIG : 459

```

شکل ۱- هم ردیفی پروتئین AYT1 با استیل ترانسفرازهای قارچهای *F. sporotrichioides* و *F. graminearum*، موتیف HXXXD که سایه دار در شکل نشان داده شده است، به احتمال زیاد جایگاه فعال آنزیم است [pfam02458|17151].

(Fermentas). شرایط دمایی واکنش شامل، دمای واسرشت شدن اولیه ۹۳ درجه سانتی گراد بمدت سه دقیقه، سپس ۳۰ سیکل تکرار دمای واسرشت شدن ۹۳ درجه سانتی گراد بمدت ۶۰ ثانیه، دمای اتصال ۶۰ درجه سانتی گراد بمدت ۶۰ ثانیه و دمای طولیل شدن ۷۲ درجه سانتی گراد بمدت ۶۰ ثانیه بود. بعد از اتمام این سیکل، دمای طولیل شدن نهایی ۷۲ درجه سانتی گراد بمدت ۱۰ دقیقه بود.

ساخت سازه های ژنی: محصولات PCR پس از برش دوگانه با آنزیمهای *BamHI* و *SacI* (که در آغازگرها طراحی شده و در قطعه مورد نظر فاقد محل برش بودند) و با استفاده از آنزیم *T4 Ligase* (Fermentase) در جایگاه همسانه سازی چندگانه پلاسمید *pBluescript SK* (Stratagen) همسانه سازی و سپس توالی یابی شدند. توالی یابی توسط شرکت MWG -Biotech (Ebersburg,

AYT1Fw1: 5'-ATCGGATCCGAAGGTAGATGGATGTTTAGAG-3'

AYT1Re2: 5'-TAGAGCTCATATCATCATCTATATGTGTAG-3'

سویه مخمر وحشی با استفاده از کشت مایه خمیر (ایران

YPD (10g/L yeast محیط بر روی مایه، تهران، ایران)

extract, 20g/L bactopectone, 20g/L dextrose, 18g/L Agar agar) با تشکیل کلنی منفرد بدست آمد. استخراج

DNA از مخمر با استفاده از روش Hoffman and Winston (1987) انجام گرفت. کمیت و کیفیت

DNA استخراج شده بترتیب با اسپکتروفتومتر و مشاهده بر روی

ژل آگارز بررسی شد و این DNA برای واکنش PCR

مورد استفاده قرار گرفت. مواد واکنش دهنده در این PCR

عبارت بودند از 0.2 mM از هر کدام از dNTP ها،

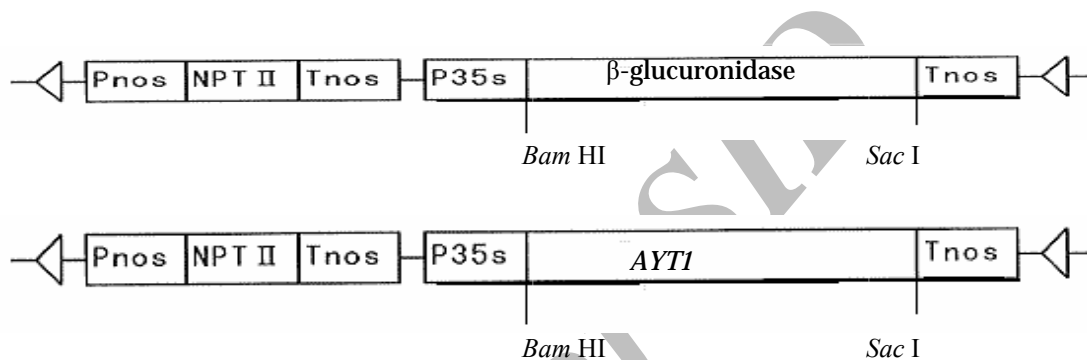
1.5mM MgCl<sub>2</sub>، 0.5µM از هر کدام از آغازگرهای

AYT1Fw1 و AYT1Re2، 50 ng از DNA ژنومی

بعنوان الگو 1 unit از آنزیم *Pfu DNA polymerase*

پلاسمید pBI121 دارای ژن *nptII* (عامل ایجاد مقاومت به کانامایسین) بعنوان نشانگر انتخابی در باکتری و گیاه است. همچنین ژن گزارشگر GUS بین راه انداز 35S و پایان دهنده NOS در این قسمت طراحی شده است که قطعه مورد نظر جایگزین این ژن گردید (شکل ۲). در عین حال پلاسمید pBI121 بدون اتصال به قطعه نیز بعنوان ناقل کنترل در آزمایشات تراریختی بکار گرفته شد.

(Germany) انجام گرفت. جهت هم ردیفی توالیهای به دست آمده با سایر توالیهای موجود در GenBank از جستجوگر BLASTP Ver. 2.2.10 [Oct-19-2004] در بانک ژن NCBI استفاده شد. قطعه مورد نظر با استفاده از برش آنزیمی توسط دو آنزیم *Bam*HI و *Sac*I در دو انتهای قبل از این قطعه، از پلاسمید pBluescript SK خارج و با استفاده از T4 Ligase در پلاسمید دوگانه pBI121 (Clontech) همسانه سازی گردید. T-DNA

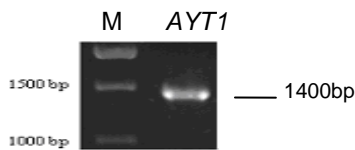


شکل ۲- سازه مورد استفاده در تراریختی با جایگزین کردن ژن *β-glucuronidase* با ژن *AYT1* توسط برش آنزیمی دوگانه با آنزیمهای *Sac*I و *Bam*HI ساخته شد.

**آزمون مقاومت به توکسین DON:** بذره‌های برداشت شده از گیاهان تراریخت با استفاده از وایتکس ۳۰ درصد، استریل و در محیط استاندارد MS محتوی ۲ درصد سوکروز و ۷٪ درصد آگار بر روی مشهای ضد زنگ استریل قرار داده شد. جهت همزمانی رشد، پلیت‌ها بمدت یک شبانه روز در تاریکی و در دمای ۴ درجه سانتی گراد قرار گرفتند و سپس بمدت ۱۰ روز در شرایط کنترل شده رشد داده شدند. جوانه‌ها در مرحله دو برگگی به محیط کشت مایع MS محتوی ۵ ppm DON برده شدند که بعد از پنج روز این محیط با MS محتوی ۱۰ ppm از DON تعویض شد. نحوه و میزان رشد و نمو گیاهان تحت تیمار بمدت دو هفته مورد بررسی و مقایسه قرار گرفت.

**بررسیهای مولکولی گیاهان تراریخت:** جهت اثبات ورود ژن *AYT1* به گیاه، DNA ژنومی از بافت برگ با استفاده از روش CTAB (۱۳) استخراج گردید و با همان شرایط

تراریختی گیاه توتون: در ابتدا سازه نو ترکیب ساخته شده و همچنین پلاسمید بدون قطعه *AYT1* (حاوی ژن گزارشگر GUS)، به باکتری *Agrobacterium tumefaciens* سویه LBA4404 از طریق روش انجماد و ذوب (۱۵) انتقال یافت. تراریختی گیاهان توتون با ساختارهای ژنی موجود، از طریق آلوده سازی قطعات برگگی (Leaf disc) انجام شد (۱۵). باززایی و انتخاب لاینهای تراریخت در محیطهای کشت انتخابی حاوی ۵۰ mg/ml کانامایسین انجام پذیرفت. در مرحله شش تا هشت برگگی، گیاهان تراریخت به گلدان منتقل گردیدند و در شرایط کنترل شده (شامل چرخه ۱۶ ساعت نور و ۸ ساعت تاریکی،  $140 \mu\text{mol m}^{-2} \text{sec}^{-1}$  نور سفید، و ۲۵ درجه سانتی گراد)، نگهداری شدند. بذره‌های حاصل خود لقاحی نسل T0 جمع آوری و برای آنالیزهای فنوتیپی استفاده شد



شکل ۳- همسانه سازی ژن *AYT1* از DNA ژنومی مخمر بوسیله واکنش زنجیره ای پلیمرز. M: 1Kb Ladder (Fermentas).

پس از همسانه سازی محصولات PCR در پلاسمید دوگانه pBI121، سازه بدست آمده در تراریختی گیاهان توتون از طریق آگروباکتریوم بکار رفت. تعداد ۱۵ لاین تراریخت شده با ژن *AYT1* بدست آمد. ساختارهای فاقد ژن *AYT1* (پلاسمید pBI121) نیز برای بررسی تأثیر مراحل تراریختی، به توتون انتقال داده شد که ۷ دودمان تراریخت شده با این ناقل نیز به دست آمد. در مقایسه با توتونهای غیر تراریخت، گیاهان بدست آمده از لحاظ ظاهری تفاوتی را نشان نمی دادند که مشخص کننده عدم تأثیرات مورفولوژیک ژن *AYT1* بر روی این گیاه است.

با استخراج DNA از دودمانهای تراریخت و تکثیر آن توسط آغازگرهای اختصاصی و مشاهده باند ۱/۴ Kb، وجود DNA مربوط به *AYT1* در لاینهای تراریخت اثبات شد. این باند در لاینهای تراریخت شده با ناقل پلاسمیدی و همچنین در توتون غیر تراریخت مشاهده نشد (شکل ۴).

RT-PCR از روی RNA استخراج شده از گیاهان تراریخت با استفاده از آغازگرهای اختصاصی نیز باند مورد نظر را نشان می داد که نشانگر بیان ژن در سطح رونویسی در گیاهان تراریخت است. چون ژن مورد استفاده فاقد اینترون است، آلودگی با DNA ژنومی در این مرحله می تواند باعث جواب مثبت کاذب شود، لذا با استفاده از واکنش کنترل منفی، یعنی واکنش RT-PCR در غیاب آنزیم Reverse Transcriptase مشخص شد که RNA استخراجی فاقد آلودگی با DNA است. همچنین برای واکنش کنترل مثبت RT-PCR از آغازگرهای اختصاصی

واکنش PCR ذکر شده تکثیر گردید با این تفاوت که در این واکنش از آنزیم *Taq DNA polymerase* (Cinna Gen, Iran) استفاده شد.

RNA کل گیاهان تراریخت نیز به روش Chomczynski and Sacchi (1987) از برگ گیاه استخراج گردید و cDNA با استفاده از آغازگر اختصاصی AYT1ReNe4 ساخته شد. شرایط ساخت اولین رشته cDNA عبارت بود از: 20 nM از هر کدام از dNTP ها، 50 pM از آغازگر AYT1ReNe4، 2 μg از RNA تام و 40 unit از آنزیم AMV Reverse Transcriptase (Roche, Mannheim, Germany) که بمدت یک ساعت در دمای ۴۲ درجه سانتی گراد قرار می گرفت. برای ساخت رشته دوم و تکثیر cDNA از واکنش PCR استفاده گردید که مواد واکنش دهنده آن عبارت بودند از: 0.2mM از هر کدام از dNTP ها، 0.5 μ، 0.75 mM MgCl<sub>2</sub>، 0.5 μ از آغازگرهای AYT1FwNe3 و AYT1ReNe4، 1 μL از cDNA ساخته شده، 1 unit از آنزیم *Taq DNA polymerase* (Cinna Gen, Iran). از آغازگرهای 18S RNA بعنوان کنترل مثبت واکنش RT-PCR استفاده گردید. این آغازگرها عبارت بودند از:

18SFw: 5' - CTTCGGGATCGGAGTAATGATTAA - 3'

18SRr: 5' - GCCGAGAACATCTAAGGCATCACAGA - 3'

(۲۲). شرایط واکنش همانند واکنش با آغازگرهای اختصاصی AYT1 بود و همزمان با آن انجام می گرفت.

## نتایج

محصولات PCR از DNA ژنومی مخمر توسط آغازگرهای طراحی شده بصورت باند منفرد و در اندازه مورد انتظار (۱/۴Kb) بر روی ژل ظاهر شدند (شکل ۳).

تعیین ترادف قطعات همسانه سازی شده این محصولات و مقایسه آنها با توالی موجود در بانک ژن، صحت توالیهای مورد استفاده را بدون هیچگونه تغییری در بازها تأیید کرد.

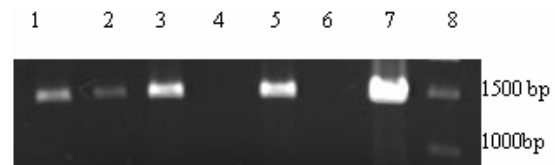
وحشی، حاکی از تراریخت بودن احتمالی این دودمانهای بود. بمنظور بررسی میزان و نحوه مقاومت دودمانهای تراریخت شده، بذور حاصل از خود تلقیحی گیاهان نسل اول تراریخت پس از جوانه زنی و در مرحله دو برگی به محیط کشت مایع حاوی مقادیر حداقل (4 ppm) از میکوتوکسین DON انتقال یافته و پس از یک هفته نهایتاً به محیط حاوی 10 ppm از DON منتقل شدند. مقایسه دودمانهای مختلف گیاهان تراریخت و شاهد و مقایسه آنها با شرایط کشت بدون DON، حاکی از اثر ممانعت کنندگی این توکسین بر روی رشد و توسعه اندام های سبز و ریشه گیاهان نوع وحشی و نیز گیاهان تراریخت حاوی پلاسمید شاهد pBI121 بود. این در حالی است که دودمانهای تراریخت AYT1 در محیط حاوی DON دارای الگوی طبیعی رشد و قابل مقایسه با تیمارهای بدون DON بودند (شکل ۶).

### بحث

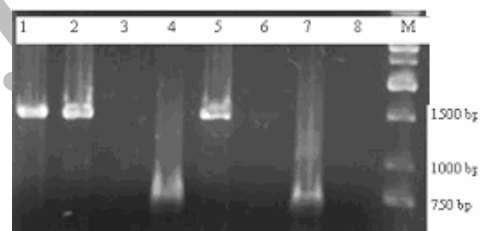
قارچ *F. graminearum* ترکیبات و متابولیت‌های ثانویه ای را تولید می کند که عوامل بیماریزا برای انسان و همچنین گیاهان هستند (۳). یکی از راههای مقابله با این عوامل تغییر در ساختمان آنها بمنظور کاهش سمیتشان است که معمولاً توسط آنزیمهای سم زدا صورت می گیرد. از جمله این آنزیمها می توان گلوکاتایون S- ترانسفراز (۲۷) و ZHD101 (۱۸) را نام برد که باعث سمیت زدایی از میکوتوکسین استروژنی زیرالنون می شوند.

گروه هیدروکسید موقعیت ۳ میکو توکسین DON باعث تشدید سمیت می شود (۳۱) و تغییر این گروه بطوریکه DON تبدیل به ۳-کتو ۴-دی اکسی نیوالنول (۳۰، ۳۴) یا DON-۳-O- گلیکوزید (۲۹) شود باعث کاهش سمیت آن می شود. استیل ترانسفراز مخمری (AYT1)،

18S RNA استفاده گردید و با مشاهده قطعه ۶۰۰ bp مورد نظر، کیفیت RNA و واکنش RT-PCR مورد تأیید قرار گرفت (شکل ۵).



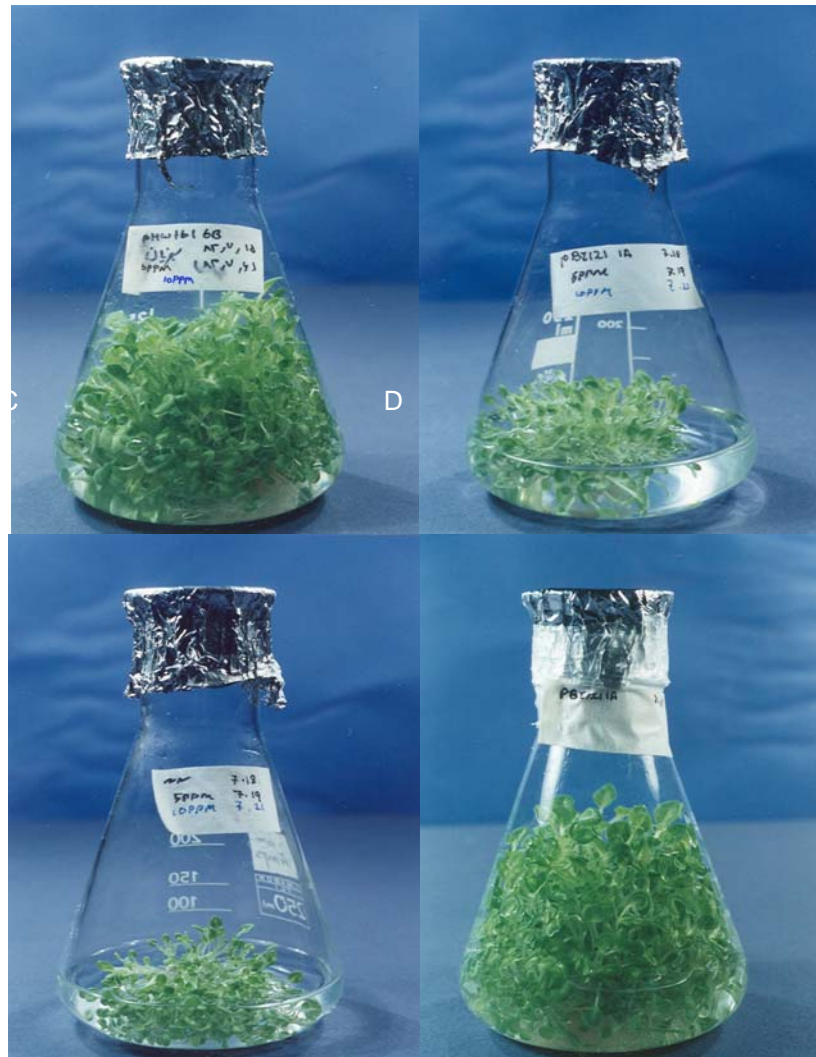
شکل ۴ - محصولات PCR گیاهان تراریخت توتون با استفاده از آغازگرهای اختصاصی ژن *AYT1* چاهکها به ترتیب عبارتند از: ۱: لاین AYT16B؛ ۲: لاین AYT110C؛ ۳: لاین AYT14A؛ ۴: لاین pBI121A؛ ۵: لاین AYT18B؛ ۶: توتون نوع طبیعی (Wt)؛ ۷: کنترل مثبت (پلاسمید pBI121-AYT1)؛ ۸: 1 Kb Ladder (Fermentas).



شکل ۵ - محصولات RT-PCR از لاینهای توتون تراریخت شده با *AYT1* چاهکها بترتیب عبارتند از:

۱: کنترل مثبت PCR با پلاسمید pBI121-AYT1؛ ۲: لاین AYT1 8B؛ ۳: کنترل منفی از لاین AYT1 8B بدون آنزیم RT؛ ۴: کنترل مثبت با آغازگرهای 18S از لاین AYT1 8B؛ ۵: لاین AYT1 4A؛ ۶: کنترل منفی از لاین AYT1 4A بدون آنزیم RT؛ ۷: کنترل مثبت با آغازگرهای 18S از لاین AYT1 4A؛ ۸: کنترل منفی PCR.

در آزمایشات فنوتیپی در ابتدا بذور بدست آمده از خود تلقیحی گیاهان T0 در محیط جوانه زنی حاوی آنتی بیوتیک کانامایسین کشت گردیدند. عدم سفید شدن دانه رستها در این محیط در مقایسه با بذور جوانه زده نوع



شکل ۶- الگوی رشد لاینهای مختلف توتون در حضور یا عدم حضور DON. A, B و C برترتیب شامل توتونهای تراریخت شده با ساختار ژنی *AYTI*، گیاهان تراریخت شده با ناقل پلاسمیدی بدون قطعه خارجی و گیاهان غیر تراریخت در حضور 10 ppm از توکسین DON است. D: گیاهان تراریخت شده با ناقل پلاسمیدی در عدم حضور توکسین را نشان می دهد. ناقل پلاسمیدی فاقد هر گونه تأثیر بر روی رشد گیاهان بوده و تنها توتونهای تراریخت شده با ساختار ژنی *AYTI* تحمل به توکسین DON را نشان می دهد.

تراریخت یافته با ژن *FsTri101*، افزایش میزان تحمل به DON نشان داده شده است (۲۸). مطالعه حاضر نشان داد که بیان ژن *AYTI* از مخمر نیز موجب افزایش مقاومت به DON در توتون تراریخت می شود. بمنظور بررسی چگونگی بیان ژن *AYTI* در سطح ترجمه، تولید آنتی بادی اختصاصی این پروتئین و بررسیهای ایمونولوژیک گیاهان تراریخت بدست آمده، در مراحل بعدی این پژوهش مد نظر می باشد. همچنین آنالیزهای بیوشیمیایی جهت بررسی

DON را به 3A-DON تبدیل می کند (شکل ۷) که سمیت آن حداقل دو بار کمتر از DON است (۲۹) و عملکردی مشابه استیل ترانسفراز فوزاریومی TRI101 دارد. پیشنهاد شده است *Tri101* از جمله ژنهای درگیر در حفاظت از خود در قارچهای تولید کننده تریکوتسنهاست (۲۳). بعلاوه TRI101 از آنزیمهای حد واسط تولید تریکوتسنها است (۲۵) که گروه استیل اضافه شده توسط آن در مراحل بعدی توسط TRI8 برداشته می شود (۲۴). در توتونهای

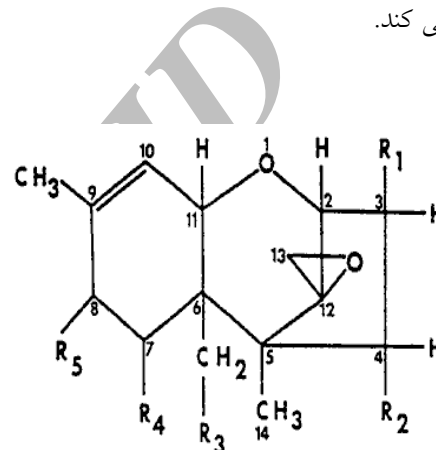
بنظر می رسد اما نباید موانعی نظیر مشکل بودن بدست آوردن گیاهان تراریخت موفق، تأثیر ژنوتیپ روی باززایی گیاه، تنوع سوماکلنی و سایر فاکتورهای ایجاد کننده تنوع را از نظر دور داشت (۱۲).

از سوی دیگر، برخی از محققین تلاش کرده اند که از آزمون حساسیت به DON برای معرفی روشی سریع در غربالگری گیاهان مقاوم استفاده کنند. در این روش ها، از قابلیت DON در جلوگیری از رشد کالوس و پروتوپلاست (۱۶)، رشد دانه رستهها (۲۳، ۳۳) و رشد ریشه و کشت بافت (۱۶) استفاده شده است. در مطالعه حاضر، اثر ممانعت کنندگی توکسین در رشد گیاهچه ها مورد بررسی قرار گرفت. این آزمون قبلاً نیز در بررسی مقاومت فنوتیپی گیاهان حاوی ژنهای جهش یافته Ribosomal Protein L3 (RPL3) گوجه فرنگی (۲۶) Renu et al., unpublished, data) بکار رفته است که فنوتیپهای بدست آمده با نتایج این تحقیق هم خوانی داشته و آن را تأیید می نماید. با توجه به مقدار کم توکسین مورد مصرف و کارایی نسبتاً مطلوب این آزمون در مقایسه با دیگر آزمونها، این روش از لحاظ اقتصادی مقرون بصره است که با اندکی تغییرات می توان آن را در مورد غلات دانه ریز نیز بکار برد.

**تشکر و قدردانی:** نگارندگان از پژوهشگاه ملی مهندسی ژنتیک و زیست فناوری، طرح ۱۵۹، بدلیل فراهم آوری امکانات انجام این پروژه و دفتر همکاریهای فن آوری ریاست جمهوری بدلیل حمایتهای مالی قدردانی می نمایند.

۲- فروتن، ع، ارشاد، ج، دلیلی، ع. و گرامی، ق. (۱۳۷۲). شیوع بلایت خوشه گندم در مازندران. خلاصه مقالات یازدهمین کنگره گیاهپزشکی ایران. دانشگاه گیلان. رشت. ص: ۳۳

ماهیت تغییراتی که توسط آنزیم AYT1 در ساختمان DON انجام می گیرد و سبب کاهش سمیت این توکسین می شود، در کشت گیاهان تراریخت در دست بررسی است. از آنجایی که DON فاکتور تشدید بیماری است، بنظر می رسد بیشترین نقش AYT1 در تحمل به DON و مراحل بعد از آلودگی اولیه مشخص شود (۳۳). بطور کلی کم کردن مقدار DON باعث افزایش کیفیت غلات می شود و همچنین در مقاومت به قارچ *F. graminearum* نیز نقش بسزایی ایفا می کند.



	R <sub>1</sub>	R <sub>2</sub>	R <sub>3</sub>	R <sub>4</sub>	R <sub>5</sub>
T-2 Toxin	OH	CH <sub>3</sub> COO-	CH <sub>3</sub> COO-	H	(CH <sub>3</sub> ) <sub>2</sub> CHCH <sub>2</sub> COO-
Difacetoxystripenol	OH	CH <sub>3</sub> COO-	CH <sub>3</sub> COO-	H	H
Deoxyvalenol	OH	H <sub>2</sub>	OH	OH	O
Valenol	OH	OH	OH	OH	O

شکل ۷- ساختار شیمیایی دی اکسی نیوالنول و تریکوتسنهای دیگر (www.ivos.org). ۳-استیل دی اکسی نیوالنول در موقعیت R<sub>1</sub> خود بجای گروه OH موجود در DON دارای گروه استیل می باشد.

نکته قابل بحث دیگر این است که توسعه غلات دانه ریز تراریخت مقاوم نسبت به FHB گرچه جذاب و کارآمد

## منابع

۱- بابدوست، م. (۱۳۷۴). وقوع گونه های فوزاریوم در بذور گیاهان گندم آذربایجان شرقی و اردبیل. مجله بیماریهای گیاهی. ۱۰۰-۸۸: ۳۱:



- ۳- علیزاده، ع.، سعیدی، ع. (۱۳۸۳). اثر متابولیت های گیاهی بر روی تولید توکسین در عامل بلایت فوزاریومی سنبله گندم و بررسی یک روش بیوکنترلی جدید. گزارش پیشرفت پروژه ملی فوزاریوم. SPII. کرج. ایران (۲۲۶ صفحه).
- ۴- گلزار، ح. (۱۳۷۲). بررسی پراکندگی فوزاریوم خوشه گندم در مناطق گرگان و گنبد و میزان حساسیت ارقام تجارتهی. مجله بیماریهای گیاهی. ۲۲-۱۷: ۲۵.
- ۵- موسوی جرف، س. م.، (۱۳۸۲). اولین گزارش از بلایت فوزاریومی گندم در استان خوزستان ایران. مجله بیماریهای گیاهی. ۸۰-۷۰: ۳۹.
- 6- Alexander N. J., McCormick S. P., Hohn T. M. 2002. The identification of the *Saccharomyces cerevisiae* gene *AYT1* (ORF-YLL063c) encoding an acetyltransferase. *Yeast*. 19:1425-30
- 7- Bai G. 2004. Management and resistance in wheat and barley to fusarium head blight. *Annu. Rev. Phytopathol.* 42:135-161
- 8- Barbacid, M., Vazquez, D. 1974. Binding of acetyl- C<sup>14</sup> trichodermin to the peptidyl transferase center of eukaryotic ribosome. *Eur. J. Biochem* 44: 437-444
- 9- Buerstmayr H., Steiner B., Hartl L. 2003. Molecular mapping of QTL for fusarium head blight resistance in spring wheat. II. Resistance to fungal penetration and spread. *Theor Appl. Genet.* 107: 503-8
- 10- Buerstmayr, H., Lemmens, M., Gransgruber, H., Ruckenaub, P. 1996. Scab resistance of international germ plasm. *Cereal Res. Comm.* 24: 197-202
- 11- Chomczynski P, Sacchi, N. 1987. "Single-step method of RNA isolation by guanidinium thiocyanate- phenol- chloroform extraction." *Anal. Biochem.* 162: 156-9.
- 12- Dahleen L. S., Okubara P A., Blechl A.E. 2001. Transgenic approach to combat fusarium head blight in wheat and barley. *Crop Sci.* 41:627-638
- 13- Doyle, J.J., Doyle J.L. 1987. A rapid DNA isolation procedure for small quantities of fresh leaf tissue. *Phytochem. Bulletin* 19:11-15.
- 14- Goswami R. S., Kistler H. C. 2004. Heading for disaster: *Fusarium graminearum* on cereal crops. *Mol. Plant. Pathol.* 5: 515-525
- 15- Harisch R. B., Fry J., Hoffmann N., Nidermeyer J., Rogres S. G., Fraley R. T. 1988. Leaf disc transformation; in *Plant molecular biology manual*. (eds). S. B Gelvin and R. A Schilperoort (Dordrecht: Kluwer Academic Publishers). pp: 1-9
- 16- Harris, L.J., Gleddie, S.G. 2001. A modified RPL3 gene from rice confers tolerance of *Fusarium graminearum* mycotoxin deoxynivalenol to transgenic tobacco. *Physio. Mol. Plant Path.* 58: 173-181.
- 17- Hariss L.J, Desjardin, A. E., Planter R.D. 1999. "Possible role in trichothecene mycotoxins in virulence of *Fusarium graminearum* on maize." *Plant Disease.* 83: 954-960.
- 18- Higa A., Kimura M., Mimori K. 2003. Expression in cereal plants of genes that inactivate fusarium mycotoxin. *Biosci. Biotechnol. Biochem.* 67: 914-8
- 19- Hoffman C.S. Winston. F. 1987. "A ten-minute DNA preparation from yeast efficiently releases autonomous plasmid for transformation of *Escherichia coli*." *Gene* 57: 267-72
- 20- Fried H. M., Warner J. R. 1981. Cloning of yeast gene for trichodermin resistance and ribosomal protein L3. *Proc. Natl. Acad. Sci. USA.* 78: 238-42
- 21- Jenkinson P., Parry D.W. 1994. Splash dispersal of conidia of *Fusarium culmorum* and *Fusarium avenaceum*. *Mycol. Res.* 98: 506-10
- 22- Kawata M., Matsumura Y., Oikawa T., Kimizu M., Fukumoto F., Kuradus S. 2003. Analysis of DNA extraction buffer components from plant tissue by polymerase chain reaction. *Anal. Biochem.* 18:314-7
- 23- Kimura M, Kaneko I, Komiyama M. 1998. "Trichothecene 3-O-acetyltransferase protects both the producing organisms and transformed yeast from related mycotoxins." *J. Biol. Chem* 237: 164-1661.
- 24- McCormick S. P., Alexander N. J. 2002. *Fusarium* Tri8 encodes trichothecene C-3-estrerase. *Appl. Environ. Microbiol.* 68: 2959-2964
- 25- McCormick S. P., Alexander N. J., Trapp S. E., Hohn T. M. 1999. Disruption of *TRI101*, the gene encoding trichothecene 3-O-acetyltransferase, from *Fusarium sporotrichioides*. *Appl. Environ. Microbiol.* 65: 5252-5256

- 26- Mitterbaure R, Poppenberger B, Raditsching A, Adam G. 2004. Toxin-dependent utilization of engineered ribosomal protein L3 limits trichothecene resistance in transgenic plants. *J. Plant. Biotechnol.* 2: 329-340
- 27- Mohammadi M., Allameh A., Koursandi H. 2000. Change in glutathione S-transferase acting and zeralenone content in susceptible and tolerant wheat heads inoculated with *Fusarium graminearum*, the causal agent of fusarium head scab. *J. Sci.* 11: 175-180
- 28- Muhitch M. J., McCormick S. P., Alexander N. J., Hohn T. M. 2000. Transgenic expression of *Tri101* or *PDR5* gene increase resistance in tobacco to the phytotoxic effects of trichothecenes 4, 15 diacetoxyscripenol. *Plant Sci.* 157: 201-207
- 29- Poppenberger B., Berthiller F., Lucyshin D., Siebere T., Schuhmacher R., Kuchler K., Glosel J., Luschning C., Adam, G. 2003. Detoxification of fusarium mycotoxin deoxynivalenol by UDP-glycosyltransferases from *Arabidopsis thaliana*. *J. Biol. Chem.* 278: 47905-14.
- 30- Ruckebauer P., Buerstmayr H., Lemmens M. 2001. Present strategies in resistance breeding against scab (*Fusarium* spp.). *Euphytica*. 119:121-127
- 31- Shima J., Takase Sh., Iwai Y. 1997. Novel detoxification of the trichothecene mycotoxin Deoxynivalenol by a soil bacterium isolated by enrichment culture. *Appl. Environ. Microbiol.* 63: 3825-3830
- 32- Sewald N., Lepschy J., Gleissenthall V. 1992. Structure elucidation of a plant metabolite of 4-dioxynivalenol. *Tetrahedron: Asymmetry.* 3: 953-60
- 33- Snijder C.H.A. 2004. Resistance in wheat to *Fusarium* infection and trichothecene formation. *Toxicol. Letters.* 153: 37-46
- 34- Volkl A., Vogler B., Schollenberger M., Karlovsky P. 2004. Microbial detoxification of mycotoxin deoxynivalenol. *J. Basic. Microbiol.* 44: 147-65

## Evaluation of the yeast acetyltransferase (AYT1) in detoxification of the *F. graminearum* toxin deoxynivalenol in transgenic plants

Forough Sanjarian<sup>1,2</sup>, Amir Mousavi<sup>1</sup>, Azizollah Alizadeh<sup>3</sup>, Hanna Weindorfer<sup>4</sup>,  
Gerhard Adam<sup>4</sup>

<sup>1</sup>National Institute for Genetic Engineering & Biotechnology, Tehran, I.R. of Iran

<sup>2</sup>Biology Division, Faculty of Science, Razi University, Kermanshah, I.R. of Iran

<sup>3</sup>College of Agriculture, University of Tarbiat Modarres, Tehran, I.R. of Iran

<sup>4</sup>Center of Applied Genetics, University of Agricultural Sciences, Vienna, Austria

### Abstract

The primary causal agent of FHB (*F. graminearum*) can produce deoxynivalenol (DON), a trichothecene mycotoxin that enhances disease severity and poses a health hazard to human and monogastric animals. To study the possible ways for reducing the effect of DON, an acetyltransferase (*AYT1*) gene from yeast was cloned and transformed into tobacco as a model plant. *AYT1* encodes an enzyme that transfers an acetyl moiety to the C3 hydroxyl group of trichothecene. The results of in vitro culture resistance tests suggested detoxification and partial protection against DON mycotoxin in transgenic plants.

**Key words:** *Fusarium* head blight. deoxynivalenol. acetyltransferase. detoxification.